

III-38 接岸時の船舶の衝撃力

中央大学 正員 林 泰造

§ 1 緒言

- 船舶の接岸時の衝撃力の評価は繫船岸設計上重要な事柄である。船舶のもたらす運動のエネルギーを吸收する機構として考えられているものはつきの4つのものである。
- 船舶のローリング
 - 船舶の縦方向回転
 - 船舶の変形
 - 繫船施設(防衛工もしくめて)の変形

このうち、a. の船舶のローリングによる吸收は極めて少いとして、従来の理論的取扱いにおいてはこの影響が無視されていようである。¹⁾

しかし、そのような仮定の妥当性が未だ數量的には検討されていないよしに思われる所以、本研究においては、その影響(ローリング)も考慮した一般理論を樹て、この問題につき種々検討する。

§ 2 基本方程式

図示のような座標系をとる。すなゆち、 y は防舷材の縮み(繫船構造物の歪を含む)、 θ は船舶が繫船岸となす角度)、 φ は船舶の傾き(鉛直線となす角度)、 X は船舶の重心と防舷材との鉛直距離、 y_G は繫船岸に垂直な方向への船舶重心の変位、である。

重心 G の併進運動の方程式は

$$M \ddot{y}_G = -c y \quad \dots \dots \dots \quad (1)$$

たゞし、 M は船舶の質量(仮想質量を含む)、 c は繫船施設全体のバネ常数である。ところが、図から明らかに

¹⁾ 例えは、肥後春生:繫船岸の防衛工について、土木学会誌昭和33年10月

$$\dot{y}_G - a\dot{\theta} - X\dot{\varphi} = \dot{y}$$

であるから、この関係を(1)に代入すれば

$$M(\ddot{y} + a\dot{\theta} + X\dot{\varphi}) = -cy \quad \dots \dots \quad (2)$$

つぎに、平面形の回転運動の方程式は

$$I_\theta \ddot{\theta} = cy \cdot a \quad \dots \dots \quad (3)$$

たゞし、 I_θ は G を通る鉛直線の周りの慣性モーメント(MR^2)である。

また、 G を通る水平線の周りの回転運動(ローリング)の方程式は

$$I_\varphi \ddot{\varphi} = cy \cdot X - w J_\varphi \varphi \quad \dots \dots \quad (4)$$

たゞし、 I_φ は G を通る水平線周りの船舶の慣性モーメント(Mr^2)、 J_φ は同水平線周りの、船舶の平面形がもつ断面2次モーメント($= b^3 l / 12$)、である。

(2), (3), (4) の3式が所要の基式となる。

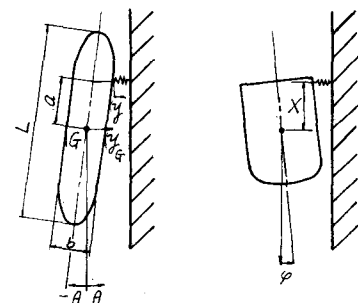


図-1 座標系

§ 3 基本方程式の処理

θ を消去するためには、(3) と (2)

を代入して整理すれば

$$\ddot{y} + \left(\frac{a^2}{I_\theta} + \frac{1}{M} \right) cy = -X\ddot{\varphi} \quad \dots \dots \quad (5)$$

また、(4) から

$$\ddot{\varphi} + \frac{w J_\varphi}{I_\varphi} \varphi = c X \cdot y \quad \dots \dots \dots (6)$$

$c' M$ は明らかに、船舶が重心で防舷材に当る時 ($a = 0, X = 0$) の防舷材の振動角速度 ω_y を、また $w J_\varphi / I_\varphi$ は同じく重心で当る時の船舶のローリング角速度 ω_φ を表わす。したがって

$$\frac{c}{M} = \omega_y^2, \quad \frac{w J_\varphi}{I_\varphi} = \omega_\varphi^2, \quad I_\varphi = M R^2$$

式(5)と(6)とに代入すれば、両式は

$$\ddot{y} + (\omega_y^2 + \frac{a^2}{R^2}) y = -X \ddot{\varphi} \quad \dots \dots \dots (7)$$

$$\ddot{\varphi} + \omega_\varphi^2 \cdot \varphi = \frac{c X}{I_\varphi} y \quad \dots \dots \dots (8)$$

となる。この両式から y を消去すると

$$\ddot{\varphi} + (\omega_y^2 + \omega_\varphi^2 + \frac{a^2}{R^2} + \frac{X^2}{r^2}) \ddot{\varphi} + \omega_y^2 \omega_\varphi^2 \varphi = 0 \quad \dots \dots \dots (9)$$

となり、これが所要の基本式である。

§ 4 基本式の解

基本式(9)の解は

$$\varphi = A \sin \omega_1 t + B \cos \omega_1 t + C \sin \omega_2 t + D \cos \omega_2 t \quad \dots \dots \dots (10)$$

ただし

$$\omega_1 = \sqrt{\frac{\omega_y^2 + \omega_\varphi^2 + \frac{a^2}{R^2} + \frac{X^2}{r^2} + \sqrt{(\omega_y^2 + \omega_\varphi^2 + \frac{a^2}{R^2} + \frac{X^2}{r^2})^2 - 4\omega_y^2 \omega_\varphi^2}}{2}} \quad \dots \dots \dots (11)$$

$$\omega_2 = \sqrt{\frac{\omega_y^2 + \omega_\varphi^2 + \frac{a^2}{R^2} + \frac{X^2}{r^2} - \sqrt{(\omega_y^2 + \omega_\varphi^2 + \frac{a^2}{R^2} + \frac{X^2}{r^2})^2 - 4\omega_y^2 \omega_\varphi^2}}{2}} \quad \dots \dots \dots (12)$$

(10) と (6) に代入して y を求めると

$$y = \frac{I_\varphi}{c X} [(-\omega_1^2 + \omega_\varphi^2) A + (-\omega_1^2 + \omega_\varphi^2) B + (-\omega_2^2 + \omega_\varphi^2) C + (-\omega_2^2 + \omega_\varphi^2) D] \quad \dots \dots \dots (13)$$

となる。(10) より ω_1 と (13) の A, B, C, D は積分常数であって、つきの4つの初期条件から定められる:

$$(\varphi)_{t=0} = J, \quad (\dot{\varphi})_{t=0} = J, \quad (y)_{t=0} = 0, \quad (\dot{y})_{t=0} = V_0 \quad \dots \dots \dots (14)$$

この結果 y は (13) から

$$y = \frac{V_0}{\omega_1^2 - \omega_2^2} \left[\frac{\omega_1^2 - \omega_\varphi^2}{\omega_1} \sin \omega_1 t + \frac{\omega_2^2 - \omega_\varphi^2}{\omega_2} \sin \omega_2 t \right] \quad \dots \dots \dots (15)$$

となる。

§ 5 平面回転およびローリングによる防舷材の衝撃の減少の割合

y の起りうる最大値は (15) から

$$y_{\max} = \frac{V_0}{\omega_1^2 - \omega_2^2} \left[\left| \frac{\omega_1^2 - \omega_\varphi^2}{\omega_1} \right| + \left| \frac{\omega_2^2 - \omega_\varphi^2}{\omega_2} \right| \right] = \frac{V_0}{\omega_1 + \omega_2} \frac{\omega_1 \omega_2 + \omega_\varphi^2}{\omega_1 \omega_2} \quad \dots \dots \dots (16)$$

一方、船舶が重心で防舷材に当る時 ($a = 0, X = 0$ の時) の y_{\max} は明かに

$$(y_{\max})_{a=0, X=0} = \frac{V_0}{\omega_y} \quad \dots \dots \dots \dots \dots (17)$$

(16) と (17) との比を μ とおくと、

$$\mu = \frac{\omega_y}{\omega_1 + \omega_2} \left(1 + \frac{\omega_\varphi^2}{\omega_1 \omega_2} \right) \quad \dots \dots \dots \dots \dots (18)$$

となり、 μ は防舷材に作用する力が船舶のローリングおよび平面運動の影響による減少の割合を表わす。上式を書き直すと

$$\mu = \frac{\lambda + (1/\sqrt{1 + \frac{a^2}{R^2}})}{\lambda_1 + \lambda_2} \quad \dots \dots \dots \dots \dots (19)$$

ただし、 $\lambda = \omega_y / \omega_\varphi$

$$\lambda_1 = \sqrt{\frac{1 + (1 + \frac{a^2}{R^2} + \frac{X^2}{r^2}) \lambda^2 + \sqrt{[(1 + (1 + \frac{a^2}{R^2} + \frac{X^2}{r^2}) \lambda^2]^2 - 4(1 + \frac{a^2}{R^2}) \lambda^2}}}{2}} \quad \dots \dots \dots \dots \dots (20)$$

§ 6 μ の値

(19) によって計算することができます:

$\lambda = 0.2$ の場合

| $X \setminus a/R$ | 0 | 0.2 | 0.4 | 0.6 | 0.8 | 1 |
|-------------------|-------|-------|-------|-------|-------|-------|
| 0 | 1 | .9806 | .9285 | .8575 | .7809 | .7071 |
| 0.5 | .8566 | .8282 | .7778 | .7091 | .6356 | .5651 |
| 1 | .8375 | .8200 | .7699 | .7091 | .6297 | .5599 |
| 1.5 | .8248 | .8064 | .7577 | .6913 | .6201 | .5507 |
| 2 | .8063 | .7886 | .7412 | .6768 | .6075 | .5441 |

$\lambda = 1$ の場合

| $X \setminus a/R$ | 0 | 0.2 | 0.4 | 0.6 | 0.8 | 1 |
|-------------------|-------|-------|-------|-------|-------|-------|
| 0 | 1 | .9619 | .8622 | .7362 | .6096 | .5000 |
| 0.5 | .9699 | .9517 | .9029 | .8368 | .7626 | .6923 |
| 1 | .8945 | .8786 | .8367 | .7786 | .7145 | .6531 |
| 1.5 | .8000 | .7872 | .7527 | .7115 | .6522 | .6007 |
| 2 | .7072 | .6969 | .6687 | .6299 | .5871 | .5446 |

上表によつても $a/R, X/r$ の値により μ が減少する状況がよく認められる。

本研究は、大成建設KK研究部 友人白井増次郎氏との討議の間になされたものであり、問題の着想は同氏に負うところが多い。記して厚く謝意を表す。